



## The Effect of Non-thermal Plasma on Improvement of Functional Properties of Sorghum Starch

F. Shokrollahi<sup>1</sup>, F. Shahidi<sup>2\*</sup>, M.J. Varidi<sup>3</sup>, A. Koocheki<sup>4</sup>, F. Sohbatzadeh<sup>5</sup>

Received: 2021.06.14

Revised: 2021.07.27

Accepted: 2021.08.04

Available Online: 2021.09.15

### How to cite this article:

Shokrollahi, F., Shahidi, F., Varidi, M.J., Koocheki, A., & Sohbatzadeh, F. (2023). The effect of non-thermal plasma on improvement of functional properties of sorghum starch. *Iranian Food Science and Technology Research Journal*, 19(2), 217-229. (In Persian with English abstract). <http://doi.org/10.22067/ifstrj.2021.70973.1062>

### Introduction

Sorghum is a valuable source of starch for human use, being a drought-tolerant cereal grain that contains a large amount of starch (approximately 70%). However, native sorghum starch has limited application in the food industry due to its poor functional properties. Modification of sorghum starch would overcome its shortcomings and tailor it to the targeted application. Among physical methods, non-thermal plasma is a novel method for starch modifications. Plasma is an ionized gas including electrons, atoms, ions, radicals, and quanta of electromagnetic radiation that affects the functional properties of starch. The effect of plasma on starch is influenced by apparatus type, treatment conditions (feed gas, time, and power), and the source of starch. Two main mechanisms of starch modification are known as cross-linking and oxidation together with depolymerization. Although the effect of plasma on many types of starch has been investigated, no research has yet been found on sorghum starch modification by non-thermal plasma. So, this investigation determines the effects of non-thermal plasma on sorghum starch to overcome the deficiency of the native form and to explore wider applications for sorghum starch.

### Materials and Methods

Sorghum starch was extracted by alkaline steeping and purified using toluene-salt-water treatment. Dielectric Barrier Discharge (DBD) plasma was performed to modify sorghum starch. The applied DBD plasma setup consisted of two flat rectangular aluminum electrodes with the dimension of 6.5×45 cm and 7×18 cm and an electrode distance of 3 and 6 mm for air and argon plasma, respectively. Each of the electrodes was covered with a mica sheet as a dielectric barrier. DBD reactor was supplied with alternating current (AC). The frequency was adjusted to 375 Hz. Starch samples were treated for 1, 10, and 20 min at 23 kV at atmospheric pressure. The amylose content of sorghum starch was determined by iodine binding colorimetry. Evaluation of other chemical parameters including protein, lipid, ash, and moisture was carried out according to AAC methods. The clarity was determined using a spectrophotometer at 650 nm. The swelling and solubility of 1.5% sorghum starch suspension (at 55, 65, 75, and 85 °C) were measured using the centrifuge method. The centrifuge-filtration method was performed to evaluate freeze-thaw stability of sorghum starches up to 4 cycles.

### Results and Discussion

Chemical parameters showed that the extracted sorghum starch was purified. The amount of protein, lipid, ash, and amylose was 0.39, 0.15, 0.59, and 29.23%, respectively. Plasma caused significant altering in sorghum starch properties. Compared to the argon plasma, the air plasma was more effective at increasing the clarity, solubility, and

1, 2, 3 and 4- Former Ph.D. Student and Professors, Department of Food Science and Technology, Faculty of Agriculture, Ferdowsi University of Mashhad, respectively.

(\* - Corresponding Author Email: [fshahidi@um.ac.ir](mailto:fshahidi@um.ac.ir))

5- Professor, Department of Atomic and Molecular Physics, Faculty of Sciences, University of Mazandaran, Babolsar, Iran

DOI: [10.22067/ifstrj.2021.70973.1062](http://doi.org/10.22067/ifstrj.2021.70973.1062)

freeze-thaw stability. Increasing the time of treatment also improved the above-mentioned functional properties. The clarity of native starch (14.02%) was increased to 56.10% for the sample treated with air plasma for 20 min, probably due to intense oxidation and depolymerization of starch molecules. While the lowest clarity (13.07%) belonged to the 1-min argon plasma treated sample, this value was improved with increasing time of treatment. Probably cross-linked bonds were predominantly formed during the first minute of argon plasma treatment, resulting in a reduction of paste clarity, while a competitive depolymerization and oxidation reaction could be a reason for the increase of paste clarity. Solubility was increased for all treatments (except for argon-1 min). The highest solubility in each of the temperatures was found for 20 min air plasma treated sample. Depolymerization of starch molecules under plasma treatment produces low molecular weight fragments which leach out easily and increase solubility. The swelling power of 20 min air plasma treated starch was lower than that of native starch, probably due to the structural disintegration. Other samples had higher swelling power. The lower freeze-thaw stability of 1 and 10 min argon plasma treated samples may be due to cross-linking which increase retrogradation. The 20 min air-plasma treated sample had higher stability than other samples in 3 and 4th cycles of freeze-thawing. The freeze-thawing stability of other samples was similar to that of the native starch.

### **Conclusion**

Non-thermal plasma treatment improved the functional properties of sorghum starch. The best results were detected for the sample treated with air plasma for 20 min. Cross-linking may be the main reaction in the first minute of argon-plasma treatment. However, this mechanism was suppressed in a longer treatment time. It may also be stated that the effect of oxidation along with depolymerization was predominant in air-plasma treatment.

**Keywords:** Argon plasma, Clarity, Freeze-thaw stability, Solubility

## مقاله پژوهشی

# اثر پلاسمای غیرحرارتی بر بهبود ویژگی‌های عملکردی نشاسته سورگوم

فاطمه شکرالهی<sup>۱</sup> - فخری شهیدی<sup>۲\*</sup> - محمدجواد وریدی<sup>۳</sup> - آرش کوچکی<sup>۴</sup> - فرشاد صحبت‌زاده<sup>۵</sup>

تاریخ دریافت: ۱۴۰۰/۰۳/۲۴

تاریخ بازنگری: ۱۴۰۰/۰۵/۰۵

تاریخ پذیرش: ۱۴۰۰/۰۵/۱۳

### چکیده

سورگوم گیاهی مقاوم به خشکی است که با توجه به محتوای بالای نشاسته، منبع مناسبی برای استخراج نشاسته می‌باشد. اما ویژگی‌های ضعیف عملکردی نشاسته سورگوم، استفاده از آن را محدود می‌سازد. استفاده از پلاسمای غیرحرارتی به عنوان روشی نوظهور، می‌تواند سبب بهبود خواص عملکردی نشاسته از جمله شفافیت، حلالیت و پایداری در برابر انجماد-ذوب شود. از این رو، در این پژوهش، اثر متغیرهای تیمار پلاسمای شامل نوع گاز (هوا و آرگون) و زمان تیمار (۱، ۱۰ و ۲۰ دقیقه) بر شفافیت، حلالیت (در دماهای ۵۵، ۶۵، ۷۵ و ۸۵ درجه سلسیوس)، تورم (در دماهای ۵۵، ۶۵، ۷۵ و ۸۵ درجه سلسیوس)، پایداری در برابر انجماد-ذوب (در ۴ دوره متوالی) و سختی بافت ژل نشاسته سورگوم بررسی شد. نتایج نشان داد که پلاسمای هوا (در مقایسه با پلاسمای آرگون) و همچنین زمان‌های بیشتر تیمار (در مقایسه با زمان کم)، سبب بهبود شفافیت، حلالیت و پایداری در برابر انجماد-ذوب (در دوره دوم تا چهارم) شدند. مقدار شفافیت، حلالیت (در ۸۵ درجه سلسیوس)، تورم (در ۸۵ درجه سلسیوس) و پایداری در برابر انجماد-ذوب (در دوره چهارم) در نشاسته شاهد به ترتیب ۱۴/۰۲ درصد، ۱۶/۹۵ درصد، ۲۰/۶۶ گرم/گرم و ۵۶/۸۵ درصد بود که در نمونه هوا-۲۰ دقیقه به ۷۰/۰۲ درصد، ۱۵/۶۷ گرم/گرم و ۴۹/۰۶ درصد و در نمونه آرگون-۲۰ دقیقه به ۱۷/۰۹ درصد، ۳۳/۴۷ درصد، ۲۳/۲۴ گرم/گرم و ۵۸/۳۰ درصد رسید. کمترین و بیشترین مقدار سختی بافت به ترتیب مربوط به نمونه‌های هوا-۲۰ دقیقه و آرگون-۱ دقیقه بودند. احتمالاً واکنش اصلی در پلاسمای هوا، اکسیداسیون و دپلمیریزاسیون بوده، اما در پلاسمای آرگون در زمان ۱ دقیقه، اغلب اتصال عرضی رخ داده و پس از آن با افزایش زمان، اثر اکسیداسیون و دپلمیریزاسیون بر اتصال عرضی غالب گردیده است.

**واژه‌های کلیدی:** پایداری به انجماد-ذوب، پلاسمای آرگون، حلالیت، شفافیت

### مقدمه

ویژگی‌های عملکردی مانند شفافیت، حلالیت و پایداری در برابر انجماد-ذوب، موجب محدودیت کاربرد نشاسته سورگوم می‌شود (Ehtiyati, 2018). با اعمال تیمارهای مناسب و اصلاح نشاسته، علاوه بر رفع محدودیت‌ها می‌توان آن را برای اهداف صنعتی مورد نظر مناسب ساخت.

از میان روش‌های شیمیایی، فیزیکی و آنزیمی برای اصلاح نشاسته، روش‌های فیزیکی مورد توجه بیشتری قرار گرفته‌اند زیرا زمان و آب کمتری مصرف می‌کنند، آلودگی زیست محیطی ندارند، نیاز به مواد مصرفی گران‌قیمت ندارند و قابل کنترل و تکرارپذیر هستند. همچنین مصرف‌کنندگان نگرانی کمتری نسبت به این روش‌ها دارند. یکی از روش‌های فیزیکی که در سال‌های اخیر پژوهش‌های

سورگوم<sup>۶</sup> گیاهی مقاوم به خشکی است که علاوه بر هزینه پایین تولید، غنی از نشاسته می‌باشد (حاوی حدوداً ۷۰ درصد نشاسته). به همین جهت، منبعی مناسب برای استخراج نشاسته است. اما ضعف در

۱، ۲، ۳ و ۴ - به ترتیب دانش‌آموخته دکتری و استادان، گروه علوم و صنایع غذایی،

دانشکده کشاورزی، دانشگاه فردوسی مشهد

(Email: fshahidi@um.ac.ir)

(\*) نویسنده مسئول:

۵ - استاد، گروه فیزیک اتمی و مولکولی، دانشکده علوم پایه، دانشگاه مازندران،

بابلسر، ایران

DOI: 10.22067/ifstrj.2021.70973.1062

6- Sorghum

کاساوا و جو به چشم می‌خورد. اما در بررسی منابع انجام شده، پژوهشی در ارتباط با اصلاح ویژگی‌های عملکردی نشاسته سورگوم به وسیله پلاسما غیرحرارتی یافت نشد. بنابراین، با توجه به اهمیت اصلاح ویژگی‌های عملکردی نشاسته سورگوم از یک طرف، و توانایی پلاسما غیرحرارتی در اصلاح نشاسته‌ها از طرف دیگر، هدف از این پژوهش بهبود ویژگی‌های عملکردی نشاسته سورگوم با استفاده از پلاسما غیرحرارتی حاصل از گاز هوا و آرگون می‌باشد.

### مواد و روش‌ها

سورگوم سفید لاین KDFGS9 از موسسه تحقیقات اصلاح و تهیه نهال و بذر کرج تهیه شد. مواد شیمیایی از شرکت مرک خریداری شدند. آرگون از نوع آزمایشگاهی و با خلوص ۹۹/۹ درصد از شرکت فرافن گاز تهران تهیه گردید. دستگاه پلاسما از نوع تخلیه سد دی‌الکتریک<sup>۲</sup> (DBD) توسط گروه فیزیک اتمی و مولکولی دانشگاه مازندران ساخته شد.

### استخراج نشاسته سورگوم

استخراج نشاسته بر اساس روش اولاینکا و همکاران (Olayinka et al., 2013)، و با کمی تغییر طبق روش احتیاطی (Ehtiati, 2018)، انجام شد. پس از تمییز کردن و شستشوی دانه‌ها با آب، آب مقطر به میزان ۵ برابر وزن دانه‌ها به آن‌ها اضافه گردید. pH مخلوط آب و دانه‌ها در محدوده ۸-۸/۵ تنظیم و برای ۲۴ ساعت در یخچال نگهداری شد. بعد از دور ریختن آب اضافی، دانه‌ها کاملاً با آب شستشو شدند. مقدار کمی آب مقطر به دانه‌ها اضافه و با خردکن آزمایشگاهی، خرد شدند. سوسپانسیون ایجادشده از الک با مش ۱۰۰ عبور داده شد. ذرات باقیمانده روی الک مجدداً همراه با مقدار کمی آب مقطر خرد و از الک با قطر حفره ۷۵ میکرون عبور داده شدند. pH سوسپانسیون به ۸ رسانیده شد، و پس از هم زدن به مدت ۳۰ دقیقه، ۲ ساعت در دمای یخچال نگهداری شد تا نشاسته ته‌نشین شود. لایه شناور بالایی حذف و لایه ته‌نشین شده با آب مقطر مخلوط گردید. این مخلوط در شتاب ۸۰۰g به مدت ۱۰ دقیقه سانتریفیوژ و سپس لایه شناور بالایی خالی شد. سپس لایه خاکستری رنگ بالایی که شامل فیبر، پروتئین و چربی است توسط اسپاتول و قاشقک حذف شد. آب مقطر به فالكون‌ها اضافه و پس از تکان دادن و معلق کردن لایه نشاسته، به مدت ۵ دقیقه سانتریفیوژ شد. مرحله اخیر سه بار تا عدم مشاهده لایه خاکستری تکرار گردید. در ادامه از روش ادکینز و گرینوو (Adkins and Greenwo, 1996)، برای افزایش خلوص نشاسته استفاده شد. نشاسته خالص‌شده در آن با

بسیاری را به خود اختصاص داده، پلاسما غیرحرارتی<sup>۱</sup> است (Thirumdas et al., 2017a).

پلاسما بعد چهارم ماده است که از گونه‌های فعالی مانند رادیکال‌های آزاد، الکترون‌ها، یون‌های مثبت و منفی، فرم‌های برانگیخته و تعداد زیادی مولکول‌های آزاد خنثی تشکیل شده است. پلاسما به دو دسته پلاسما دمای بالا یا حرارتی و پلاسما دمای پایین یا غیرحرارتی یا سرد تقسیم می‌شود. از پلاسما سرد می‌توان برای فرآورده‌های حساس به حرارت استفاده نمود (Thirumdas et al., 2017a).

پلاسما به دو روش اصلی بر نشاسته اثر می‌گذارد: اتصال عرضی و اکسیداسیون توأم با دپلمیریزاسیون. رادیکال‌های آزاد و الکترون‌های پرنرژی سبب اتصال زنجیره‌های نشاسته می‌شوند (Thirumdas et al., 2017a). اتصال عرضی در نشاسته‌های تیمار شده با پلاسما، با شکل‌گیری پیوند C-O-C میان دو واحد گلوکز و تولید یک مولکول آب رخ می‌دهد. درحالی‌که در روش‌های شیمیایی به دلیل استفاده از واسطه‌های شیمیایی (عامل X)، پیوند C-O-X-O-C به وجود می‌آید (Zou et al., 2004). واکنش اکسیداسیون از تبدیل گروه‌های هیدروکسیل متصل به کربن‌های شماره ۲، ۳ و ۶ به گروه کربونیل صورت می‌گیرد و می‌تواند تا تبدیل کربونیل به اسید کربوکسیلیک پیشروی کند. علاوه بر آن، ممکن است منجر به شکستن پیوند گلیکوزیدی در موقعیت C1 و تبدیل آن به گروه هیدروکسیل شود (دپلمیریزاسیون). البته در تیمار با پلاسما غیرحرارتی، معمولاً موقعیت C6 اکسیده می‌شود (Khorram et al., 2015). یون‌های پرنرژی که در پلاسما وجود دارند سبب دپلمیریزاسیون زنجیره‌های آمیلوز و آمیلوپکتین می‌شوند. این امر حتی در سطوح پایین انرژی هم رخ می‌دهد. پلاسما غیرحرارتی از طریق مکانیسم‌های ذکر شده منجر به تغییر ویژگی‌های مختلف نشاسته می‌شود که این تغییرات بسته به پارامترهای پلاسما (نوع گاز، زمان و ولتاژ یا توان) و نوع نشاسته متفاوت است (Thirumdas et al., 2017a). ویژگی‌های عملکردی نشاسته‌های اصلاح‌شده توسط پلاسما غیرحرارتی تقریباً مشابه نشاسته‌های دارای اتصال عرضی و نشاسته‌های اکسیدشده با مواد شیمیایی است. پژوهش‌های مختلفی برای بهبود ویژگی‌های نشاسته سورگوم با استفاده از روش‌های شیمیایی نظیر رقیق‌سازی با اسید، استیلاسیون و اکسیداسیون انجام شده است (Singh et al., 2012 & 2009; Ali and Hasnain, 2014; Olayinka et al., 2013). این درحالی است که در بین نشاسته‌های تیمار شده با پلاسما غیرحرارتی، انواع مختلف شامل گندم، برنج، ذرت، ذرت واکسی، ذرت با آمیلوز بالا، سیب‌زمینی، سیب‌زمینی شیرین، تاپیوکا،

همزن گردابی انجام شد و سپس لوله های حاوی نمونه در حمام آب با دماهای ۵۵، ۶۵، ۷۵ و ۸۵ درجه سلسیوس قرار گرفتند و هر ۵ دقیقه یکبار به وسیله همزن گردابی یکنواخت شدند. پس از ۳۰ دقیقه حرارت دهی، لوله ها خارج و پس از خنک شدن، به مدت ۱۵ دقیقه در ۳۰۰۰ g سانتریفوژ شدند. سوپرناتانت در پلیت با وزن معین تخلیه و در آن با دمای ۱۱۰ درجه سلسیوس تا رسیدن به وزن ثابت خشک گردید. وزن لایه ته نشین شده محاسبه و سپس حلالیت و قدرت تورم مطابق روابط ۱ و ۲ تعیین شدند (Ehtiyati, 2018).

مقادیر m1 تا m3 به ترتیب وزن نمونه اولیه نشاسته، مایع رویی خشک شده و لایه ته نشین شده هستند.

$$(1) \quad \text{حلالیت} = \frac{m2 \times 100}{m1}$$

$$(2) \quad \text{قدرت تورم} = \frac{m3}{m1 - m2}$$

#### پایداری در برابر انجماد-ذوب

طبق روش احتیاطی (Ehtiyati, 2018)، ابتدا نمونه های سوسپانسیون ۵٪ نشاسته در آب دیونیزه حاوی ۲۰۰ ppm سدیم آزید تهیه و پس از صرف ۳۰ دقیقه جهت آگیری، به مدت ۲۵ دقیقه در آب جوش حرارت دیدند. در این مدت، نمونه ها هر ۳ دقیقه به مدت حداقل ۳۰ ثانیه یکنواخت می شدند. سپس مقدار مشخصی از نمونه ها به ظروف درب دار پلاستیکی منتقل و به مدت ۲۴ ساعت در فریزر منجمد گردیدند. تمامی نمونه ها از فریزر خارج شدند و رفع انجماد در دمای ۳۰ درجه سلسیوس به مدت ۲ ساعت انجام گرفت. سه عدد از نمونه ها سانتریفوژ، و سایر نمونه ها به فریزر برگردانده شدند. این عمل تا ۴ روز به صورت روزانه انجام پذیرفت. سینرسیس به روش سانتریفوژ-فیلتراسیون (شکل ۱) ارائه شده توسط کاروترین و همکاران (Charoenrein et al., 2008) اندازه گیری شد. به این منظور، به وسیله میله ای نازک، سوراخ هایی به قطر تقریباً ۱ میلی متر در کف تیوپ پلاستیکی ایجاد شد تا آب از آن ها عبور کند. کاغذ واتمن شماره ۴۱ در کف تیوپ پلاستیکی قرار گرفت و وزن تیوپ به همراه کاغذ ثبت شد (w1). سپس نمونه روی کاغذ صافی قرار داده شد و مجدداً وزن آن ثبت گردید (w2). درب تیوپ (که برای لوله سانتریفوژ هم مناسب بود) بسته شد و درون لوله سانتریفوژ با وزن مشخص (w3) قرار گرفت. نمونه به مدت ۱۰ دقیقه در شتاب ۱۰۰ g سانتریفوژ شد (سانتریفوژ PECO do-16). ابتدا تیوپ درب دار خارج شد و سپس وزن لوله سانتریفوژ حاوی آب یادداشت گردید (w4). سینرسیس مطابق رابطه ۳، بر حسب درصد آب جدا شده نسبت به وزن اولیه ژل محاسبه شد.

دمای ۳۵ درجه سلسیوس به مدت ۲۴ ساعت خشک و سپس به آرامی با دست خرد و از الک با مش ۱۰۰ عبور داده شد.

#### دستگاه تخلیه سد دی الکتریک (DBD)

در این پژوهش، از سیستم DBD به منظور تولید پلاسما استفاده شد. منبع تغذیه از نوع AC و فرکانس و دیوتی دستگاه به ترتیب ۳۷۵ هرتز و ۷۲ درصد بود. در هر دو سیستم تولیدکننده ی پلاسما هوا و آرگون، از دو صفحه موازی آلومینیومی به عنوان الکترود استفاده شد که هر کدام از آن ها توسط یک صفحه میکا به عنوان عایق پوشانده شده بودند. در سیستم هوا و آرگون، ابعاد الکترودها به ترتیب  $6/5 \times 45$  و  $7 \times 18$  سانتی متر و فاصله الکترودها از یکدیگر به ترتیب ۳ و ۶ میلی متر بود. جریان ورودی گاز آرگون  $1/5$  لیتر بر ثانیه تنظیم شد. در سیستم پلاسما آرگون، از تعدادی لام چسبیده به یکدیگر (مجموعاً به ضخامت ۶ میلی متر) برای پوشاندن قسمت باز دستگاه (به منظور کاهش خروج آرگون از محفظه ی دستگاه و کاهش ورود هوا به آن) استفاده شد. برای انجام تیمار، مقدار اندکی از پودر نشاسته توسط الک کوچکی روی تمام سطح میکای پایینی دستگاه پاشیده شد تا لایه نازکی به ضخامت تقریباً ۱ میلی متر تشکیل دهد. نمونه ها به مدت ۱، ۱۰ و ۲۰ دقیقه با ولتاژ ۲۳ ولت تیمار شدند و تا زمان انجام آزمون ها، در ظروف پلی اتیلنی در بسته نگه داری شدند. نشاسته ای که به وسیله پلاسما تیمار نشد، به عنوان "شاهد" نام گذاری شد.

#### ترکیب شیمیایی نشاسته سورگوم

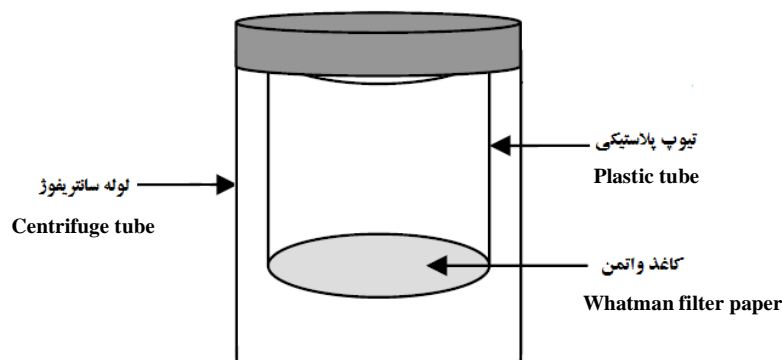
اندازه گیری رطوبت، پروتئین، چربی و خاکستر به ترتیب به روش آون گذاری، کجلدال، سوکسله و سوزاندن در کوره طبق استاندارد AACC (2000) و آمیلوز طبق روش مک گرنس و همکاران (McGrance et al., 1998)، انجام شد.

#### شفافیت خمیر

مطابق روش احتیاطی (Ehtiyati, 2018)، سوسپانسیون ۱ درصد نشاسته در لوله شیشه ای در پیچ دار تهیه و ژلاتینه شدن طی ۳۰ دقیقه حرارت دهی در حمام آب جوش انجام شد. نمونه ها در این مدت، هر ۵ دقیقه به مدت ۳۰ ثانیه توسط همزن گردابی یکنواخت می شدند. پس از سرد کردن لوله ها در دمای اتاق به مدت ۱۰ دقیقه، درصد عبور نور از نمونه به وسیله اسپکتروفوتومتر (Unico uv-2100) در طول موج ۶۵۰ نانومتر اندازه گیری شد.

#### حلالیت و قدرت تورم

مقدار معینی سوسپانسیون  $1/5$  درصد وزنی-وزنی نمونه درون لوله شیشه ای در پیچ دار تهیه شد. یکنواخت سازی نمونه ها توسط



شکل ۱- سیستم سانتریفوژ-فیلتراسیون  
Fig. 1- Centrifuge-filtration system

### نتایج و بحث

#### ترکیب شیمیایی نشاسته سورگوم

مقادیر پروتئین، چربی، خاکستر و آمیلوز به ترتیب ۰/۳۹، ۰/۱۵، ۰/۵۹، ۲۹/۲۳ بر مبنای وزن خشک و رطوبت ۹/۳۲ به دست آمدند. نتایج به دست آمده، بیانگر کارایی فرآیند خالص‌سازی و دستیابی به خلوص مناسبی از نشاسته سورگوم می‌باشد. مقادیر به دست آمده، با نتایج احتیاطی (Ehtiati, 2018) همخوانی داشت.

#### شفافیت خمیر

شفافیت خمیر نشاسته، نقش اساسی در کاربردهای غذایی به ویژه فرآورده‌های ژله‌ای دارد (Wu *et al.*, 2019). طی ژلاتینه شدن نشاسته در غلظت کم، گرانول‌ها متورم شده و در نهایت از هم گسسته و به ذرات گرانول تبدیل می‌شوند. هرچه ذرات ایجاد شده کوچکتر باشند، عبور نور بیشتر شده و شفافیت افزایش می‌یابد (Liu *et al.*, 2014).

**جدول ۱**، نشان می‌دهد که تأثیر پلاسما روی هوا بسیار بیشتر از پلاسما روی آرگون بوده است، به نحوی که بیشترین میزان شفافیت خمیر نشاسته (۵۶/۱۰ درصد) با اعمال تیمار هوا به مدت ۲۰ دقیقه حاصل شد که تقریباً ۴ برابر شفافیت نمونه شاهد (۱۴/۰۲ درصد) و ۳/۳ برابر شفافیت نمونه تیمار شده با آرگون به مدت ۲۰ دقیقه (۱۷/۰۹ درصد) است. پژوهش‌های پیشین نیز نشان‌دهنده تأثیر زیاد پلاسما روی هوا بر شفافیت نشاسته‌های برنج و ذرت (Wu *et al.*, 2019; Pal *et al.*, 2016; Thirumdas *et al.*, 2017 b) و تأثیر کم پلاسما روی آرگون بر شفافیت نشاسته تاپوکا (Chaiwat *et al.*, 2016; Wongsagonsup *et al.*, 2014 a) هستند.

توانایی پلاسما روی هوا در افزایش شفافیت نشاسته سورگوم، احتمالاً به دلیل واکنش‌های اکسیداسیون و دپلمریزاسیون بوده است.

$$\text{سیتریسیس} = \frac{(w4 - w3) \times 100}{(w2 - w1)} \quad (3)$$

#### سختی ژل

خمیر ۱۴٪ وزنی-وزنی نشاسته در دستگاه آنالیز سریع ویسکوزیته (Starch Master2, Newport scientific, Australia) طبق برنامه دمایی مقابل حرارت داده شد: نگهداری در ۵۰°C به مدت ۱ دقیقه، افزایش دما به ۹۵°C با سرعت ۱۲ درجه بر دقیقه، نگهداری در ۹۵°C به مدت ۲/۵ دقیقه، کاهش دما به ۵۰°C با سرعت ۱۲ درجه بر دقیقه، نگهداری در ۵۰°C به مدت ۲ دقیقه. سپس نمونه ژلاتینه شده بلافاصله به قالب استوانه‌ای با ارتفاع و قطر ۱۰ میلی‌متر منتقل و به مدت ۲۴ ساعت در یخچال نگهداری گردید. آزمون TPA با استفاده از دستگاه بافت‌سنج (TAXT-2i Texture analyzer, Stable Microsystems, Surrey, England) و پروب استوانه‌ای با قطر ۲۵/۴ میلی‌متر در دمای محیط، تحت شرایط دو بار فشردن، با سرعت ۲ میلی‌متر بر ثانیه، درصد تغییرات ۵۰ و نیروی بارگذاری اولیه ۱۰ گرم و عدم مکث بین دو فشردگی انجام شد (Ehtiati, 2018).

#### تجزیه و تحلیل آماری داده‌ها

آزمایش‌ها در قالب فاکتوریل با طرح کاملاً تصادفی (بر مبنای دو عامل نوع گاز و مدت زمان تیمار) و در ۳ تکرار انجام شدند. آنالیز واریانس و مقایسه میانگین‌ها (با استفاده از آزمون توکی در سطح اطمینان ۹۵ درصد) به وسیله نرم‌افزار Minitab نسخه ۱۷ انجام پذیرفت. از نرم‌افزار Excel برای محاسبه مقادیر انحراف معیار و ترسیم نمودار استفاده شد.

جدول ۱- تأثیر پلاسمای هوا و آرگون بر شفافیت نشاسته سورگوم  
Table 1- Effect of air and argon plasma on the clarity of sorghum starch

نمونه Sample	شفافیت (درصد) Clarity (%)
شاهد (control)	14.02 ± 0.12 <sup>d</sup>
هوا-۱ دقیقه (air-1 min)	14.03 ± 0.15 <sup>d</sup>
هوا-۱۰ دقیقه (air-10 min)	16.02 ± 0.02 <sup>c</sup>
هوا-۲۰ دقیقه (air-20 min)	56.10 ± 0.26 <sup>a</sup>
آرگون-۱ دقیقه (argon-1 min)	12.64 ± 0.13 <sup>e</sup>
آرگون-۱۰ دقیقه (argon-10 min)	16.74 ± 0.14 <sup>b</sup>
آرگون-۲۰ دقیقه (argon-20 min)	17.09 ± 0.19 <sup>b</sup>

اعداد با حروف مشترک در یک ستون، تفاوت معنی‌داری (p<0.05) ندارند.

Numbers with the same letters in a column are not significantly different (p < 0.05).

در دماهای ۷۵ و ۸۵ درجه سلسیوس، تورم نمونه تیمار شده با هوا به مدت یک دقیقه، بیشتر از نمونه شاهد بود که احتمالاً به دلیل اکسیداسیون و دپلمیرزاسیون جزئی مولکول‌های نشاسته است. تجزیه جزئی پیوندهای هیدروژنی درون و بین مولکولی نشاسته منجر به آشکار شدن و بی‌حفاظ شدن گروه‌های هیدروکسیل و برقراری پیوند هیدروژنی بین این گروه‌ها با آب می‌شود (Chong *et al.*, 2013). همچنین طی دپلمیرزاسیون، گروه‌های هیدروکسیل جدید تشکیل می‌شوند که توانایی تشکیل پیوند هیدروژنی با مولکول آب و در نتیجه افزایش تورم را دارا هستند (Biduski *et al.*, 2017). احتمالاً معرفی گروه‌های آبدوست کربوکسیل و همچنین دافعه میان بارهای منفی آن‌ها هم می‌تواند منجر به افزایش تورم گردد (Pal *et al.*, 2016). با افزایش مدت زمان تیمار پلاسمای هوا به ۲۰ دقیقه، از مقدار تورم در دماهای ۷۵ و ۸۵ درجه سلسیوس کاسته شد. این موضوع احتمالاً به دلیل تشدید واکنش‌های اکسیداسیون و دپلمیرزاسیون در زمان‌های بالاتر اعمال تیمار پلاسماست. آمیلوپکتین، عامل اصلی جذب آب و تورم گرانول نشاسته است و دپلمیرزاسیون شدید آن موجب کاهش تورم می‌شود (Sarangapani *et al.*, 2016). همچنین تخلخل شدیدتر گرانول و حضور یک ساختار اسفنج‌مانند در آن‌ها باعث می‌شود که گرانول آب را جذب کند، اما هنگام سانتریفوژ شدن آن را از دست بدهد (Wang and Wang, 2003). چانگ و همکاران (Chong *et al.*, 2013)، فروپاشی ساختاری درون گرانول نشاسته را علت کاهش تورم در نشاسته‌های اکسیدشده بیان کرده‌اند.

در پژوهش پال و همکاران (Pal *et al.*, 2016)، قدرت تورم در تمامی نمونه‌های آرد برنج تیمار شده با پلاسمای هوا بیشتر از نمونه شاهد بود و افزایش زمان و ولتاژ نیز موجب افزایش تورم شد. این

دپلمیرزاسیون و کاهش اندازه مولکول‌ها، موجب تفکیک راحت‌تر مولکول‌ها در محیط و به عبارتی عبور بیشتر نور می‌شود. همچنین افزایش گروه‌های هیدروکسیل موجب افزایش پیوند هیدروژنی با مولکول‌های آب و افزایش شفافیت می‌گردد (Thirumdas *et al.*, 2017 b; Wu *et al.*, 2019). حضور گروه‌های آبدوست و حجیم کربوکسیل و دافعه میان آن‌ها نیز می‌تواند سبب افزایش شفافیت شود (Ali and Hasnain, 2014).

برای افزایش شفافیت نشاسته معمولاً از روش‌های شیمیایی اکسیداسیون و هیدرولیز اسیدی استفاده می‌شود. برای مثال، علی و حسنین (Ali and Hasnain, 2014)، گزارش کردند که شفافیت نشاسته سورگوم پس از رقیق‌سازی با اسید کلریدریک با افزایش ۳/۶ برابری، از تقریباً ۵ به ۱۸ درصد و پس از اکسیداسیون شیمیایی با افزایش ۸ برابری، از تقریباً ۵ به ۴۰ درصد رسید. بنابراین نتایج پژوهش حاضر نشان می‌دهد که پلاسمای هوا توانایی قابل توجهی برای افزایش شفافیت نشاسته سورگوم دارد و قابل رقابت با روش‌های شیمیایی است.

تیمار با پلاسمای آرگون در زمان ۱ دقیقه سبب کاهش معنی‌دار شفافیت شد. احتمالاً اتصال عرضی، موجب بزرگ شدن مولکول‌ها و در نتیجه کاهش شفافیت شده است (Kaur *et al.*, 2006). با افزایش زمان اعمال پلاسمای آرگون به مدت ۱۰ و ۲۰ دقیقه بر میزان شفافیت افزوده شد تا حدی که از شفافیت نمونه شاهد هم بیشتر گردید. چایوات و همکاران (Chaiwat *et al.*, 2016)، با گزارش روندی مشابه در نشاسته‌های تیمار شده با پلاسمای آرگون اظهار داشتند که در زمان‌های بیشتر اعمال تیمار پلاسمای اکسیداسیون و دپلمیرزاسیون بر اتصال عرضی غالب می‌شود که موجب افزایش شفافیت می‌گردد. از آنجاکه فقط مولکول‌های سطح گرانول در معرض پلاسمای قرار دارند و تحرک مولکول‌های نشاسته نیز کم است، محدودیت در اتصال این مولکول‌ها به وجود می‌آید. بنابراین در زمان کم، عمدتاً اتصال عرضی رخ می‌دهد و سپس با افزایش زمان و تأمین انرژی بیشتر، چون محدودیت برای انجام اتصال عرضی وجود دارد، دپلمیرزاسیون و شکست پیوند گلیکوزیدی شدت می‌گیرد (Wongsagonsup *et al.*, 2014 a; Chaiwat *et al.*, 2016).

### قدرت تورم

مقادیر قدرت تورم در جدول ۲، ارائه شده است. افزایش دما منجر به افزایش معنی‌دار تورم شد که احتمالاً به دلیل افزایش تحرک و انرژی مولکول‌های آب برای نفوذ به گرانول و غلبه بر پیوندهای هیدروژنی درون و بین مولکولی است (Ehtiaty, 2018).

تورم در دمای ۸۵ درجه سلسیوس در نمونه‌های تیمار شده با آرگون به مدت ۱۰ و ۲۰ دقیقه در مقایسه با نمونه تیمار شده با آرگون به مدت یک دقیقه، با توجه به شفافیت بیشتر این دو نمونه در مقایسه با سایر نمونه‌ها، احتمالاً به دلیل اکسیداسیون و دپلمیریزاسیون مولکول‌ها است. همانطور که پیشتر بیان شد، مقادیر بالای اکسیداسیون و دپلمیریزاسیون می‌تواند سبب کاهش تورم شود. لازم به ذکر است که برخی پژوهش‌گران (Wongsagonsup et al., Koo et al., 2010; 2014b) اظهار داشته‌اند که اتصال عرضی شدید نیز موجب تقویت و سختی بیش از حد ساختار می‌شود تا جایی که گرانول‌های تیمار شده به سختی اجازه ورود آب را می‌دهند، در نتیجه تورم کاهش می‌یابد. اما در آن پژوهش‌ها، کاهش تورم با پیامدهای دیگر اتصال عرضی شدید نظیر کاهش شفافیت و حلالیت همراه بوده است. حال آنکه در پژوهش حاضر، کاهش تورم همراه با افزایش شفافیت (جدول ۱) و حلالیت (جدول ۳) بود. جمع‌بندی این موارد نشان می‌دهد که احتمالاً در نمونه تیمار شده با آرگون به مدت یک دقیقه مقدار کمی اتصال عرضی به وجود آمد، اما پس از آن با افزایش زمان، دپلمیریزاسیون و اکسیداسیون شدت گرفت و اثرات آن‌ها بر اثرات اتصال عرضی غالب گشت.

در حالی است که سارانگاپانی و همکاران (Sarangapani et al., 2016)، کاهش قدرت تورم آرد برنج پیش جوشانده را به دنبال افزایش زمان و توان تیمار پلاسمای هوا گزارش کردند. این نتایج نشان می‌دهند که نوع ماده تیمارشونده و شرایط تیمار پلازما منجر به ایجاد پاسخ‌های متفاوتی می‌شود. چانگ و همکاران (Chong et al., 2013) نیز افزایش تورم نشاسته ذرت را در سطح کم اکسیداسیون شیمیایی و کاهش تورم را در سطوح بالاتر گزارش کردند.

در نمونه‌های تیمار شده با پلاسمای آرگون نیز در دمای ۵۵ و ۶۵ درجه سلسیوس تفاوت معنی‌داری بین تورم نمونه‌ها مشاهده نشد. در دمای ۷۵ درجه سلسیوس، تورم نمونه تیمار شده به مدت ۱ دقیقه به طور معنی‌داری بیشتر از شاهد بود. در دمای ۸۵ درجه سلسیوس، تورم تمامی نمونه‌های تیمار شده با پلاسمای آرگون بیشتر از شاهد بود. نمونه تیمار شده با آرگون به مدت یک دقیقه بیشترین میزان تورم در دمای ۸۵ درجه سلسیوس را نشان داد، که احتمالاً به دلیل اتصال عرضی مولکول‌های نشاسته و در نتیجه تقویت گرانول‌ها و افزایش توانایی آن‌ها در نگهداری آب بود. ونگساگونساپ و همکاران (Wongsagonsup et al., 2014b) نیز افزایش تورم نشاسته تاپیوکا را پس از وقوع مقدار محدودی اتصال عرضی گزارش کردند. کاهش

جدول ۲- تأثیر پلاسمای هوا و آرگون بر قدرت تورم نشاسته سورگوم در دماهای مختلف

Table 2- Effect of air and argon plasma on the swelling power of sorghum starch in different temperatures

نمونه (Sample)	قدرت تورم (گرم ماده خشک/گرم آب)			
	Swelling power (g/g)			
	55 °C	65 °C	75 °C	85 °C
شاهد (Control)	4.01 ± 0.11 <sup>aD</sup>	7.32 ± 0.28 <sup>aC</sup>	11.58 ± 0.36 <sup>aB</sup>	20.66 ± 0.62 <sup>cA</sup>
هوا-۱ دقیقه (Air-1 min)	4.07 ± 0.12 <sup>aD</sup>	7.42 ± 0.25 <sup>aC</sup>	13.03 ± 0.21 <sup>aB</sup>	22.44 ± 0.49 <sup>abA</sup>
هوا-۱۰ دقیقه (Air-10 min)	4.02 ± 0.09 <sup>aD</sup>	7.32 ± 0.27 <sup>aC</sup>	11.49 ± 0.37 <sup>aB</sup>	21.04 ± 0.36 <sup>bcA</sup>
هوا-۲۰ دقیقه (Air-20 min)	4.04 ± 0.11 <sup>aD</sup>	7.37 ± 0.33 <sup>aC</sup>	9.47 ± 0.18 <sup>cB</sup>	15.67 ± 0.45 <sup>dA</sup>
آرگون-۱ دقیقه (Argon-1 min)	4.02 ± 0.07 <sup>aD</sup>	7.31 ± 0.24 <sup>aC</sup>	12.77 ± 0.35 <sup>aB</sup>	25.38 ± 0.59 <sup>aA</sup>
آرگون-۱۰ دقیقه (Argon-10 min)	4.06 ± 0.11 <sup>aD</sup>	7.33 ± 0.33 <sup>aC</sup>	11.36 ± 0.44 <sup>aB</sup>	23.62 ± 0.65 <sup>bA</sup>
آرگون-۲۰ دقیقه (Argon-20 min)	4.09 ± 0.13 <sup>aD</sup>	7.47 ± 0.36 <sup>aC</sup>	11.38 ± 0.45 <sup>aB</sup>	23.24 ± 0.75 <sup>bA</sup>

اعداد با حرف کوچک مشترک در یک ستون و اعداد با حرف بزرگ مشترک در یک ردیف، تفاوت معنی‌داری در سطح اطمینان ۹۵ درصد ندارند.

Numbers with the same small letters in a column and with the same capital letters in a row are not significantly different ( $p < 0.05$ ).

## حلالیت

مقدار حلالیت نشاسته سورگوم شاهد و تیمار شده با پلاسمای غیرحرارتی در جدول ۳، ارائه شده است. حلالیت نیز همانند تورم، با افزایش دمای اندازه‌گیری، افزایش یافت. در افزایش مقدار حلالیت، پلاسمای هوا مؤثرتر از پلاسمای آرگون عمل کرد تا جایی که مقدار آن را در دمای ۸۵ درجه سلسیوس از ۱۱ به ۷۰ درصد افزایش داد اما تیمار پلاسمای آرگون، حلالیت را حداکثر به ۳۳ درصد رسانید. نمونه تیمار شده با پلاسمای هوا به مدت ۲۰ دقیقه، بالاترین میزان حلالیت را در تمامی دماهای اندازه‌گیری شده نشان داد که

احتمالاً به دلیل اکسیداسیون و دپلمیریزاسیون مولکول‌های نشاسته است، زیرا منجر به تولید فراکسیون‌هایی با وزن مولکولی کم می‌شود که به راحتی از گرانول به بیرون نشت پیدا می‌کنند (Sarangapani et al., 2016; Thirumdas et al., 2017b). همچنین افزایش حلالیت ممکن است به دلیل افزایش سطح گرانول‌ها از طریق ایجاد حفره و کانال در گرانول باشد که ورود مولکول‌های آب به داخل گرانول و خروج مستقیم آمیلوز از گرانول را تسهیل کرده است (Mohammadamini, 2015). سارانگاپانی و همکاران (Sarangapani et al., 2016)، تیرامداس و همکاران (Thirumdas et al., 2016)



پلاسمای آرگون، احتمالاً نفوذ بیشتر آب به درون گرانول (افزایش تورم) سبب نشت آسان‌تر مولکول‌ها و حلالیت بیشتر شده است (Wongsagonsup *et al.*, 2014b). علاوه بر این، در زمان‌های ۱۰ و ۲۰ دقیقه احتمالاً با شدت یافتن اکسیداسیون و دپلمریزاسیون و در نتیجه تجزیه مولکول‌های نشاسته، حلالیت افزایش یافت. ونگساگونساپ و همکاران (Wongsagonsup *et al.*, 2014b)، گزارش کردند که با افزایش تورم نشاسته‌های اتصال یافته، حلالیت افزایش یافته و با کاهش تورم از مقدار حلالیت نیز کاسته شده است. کو و همکاران (Koo *et al.*, 2010)، کاهش حلالیت و تورم را در نشاسته‌های اتصال یافته با روش‌های شیمیایی، گزارش کردند.

(*et al.*, 2017) و وو و همکاران (wu *et al.*, 2019) نیز افزایش حلالیت نشاسته‌های تیمار شده با پلاسمای هوا را گزارش کردند. البته تغییر حلالیت در پژوهش‌های مذکور کمتر از پژوهش حاضر بود. بیدوسکی و همکاران (Biduski *et al.*, 2017)، با استفاده از روش‌های شیمیایی اکسیداسیون و اسیدی کردن، حلالیت نشاسته سورگوم را از تقریباً ۳ به حداکثر ۹ درصد افزایش دادند. اثر پلاسمای آرگون بر حلالیت نشاسته سورگوم در دمای ۵۵ و ۶۵ درجه سلسیوس معنی‌دار نبود. در دمای ۵۵ و ۶۵ درجه سلسیوس، نمونه‌های تیمار شده با پلاسمای آرگون به مدت ۱۰ و ۲۰ دقیقه، حلالیت بیشتری از نمونه شاهد داشتند. در نشاسته‌های تیمار شده با

جدول ۳- تأثیر پلاسمای هوا و آرگون بر حلالیت نشاسته سورگوم در دماهای مختلف

Table 3- Effect of air and argon plasma on the solubility of sorghum starch in different temperatures

نمونه (Sample)	حلالیت (درصد) Solubility (%)			
	55 °C	65 °C	75 °C	85 °C
شاهد (Control)	1.86 ± 0.08 <sup>bD</sup>	4.54 ± 0.31 <sup>bC</sup>	9.20 ± 0.34 <sup>dB</sup>	16.95 ± 0.44 <sup>eA</sup>
هوا-۱ دقیقه (Air-1 min)	1.90 ± 0.04 <sup>bD</sup>	5.25 ± 0.15 <sup>bC</sup>	10.09 ± 0.20 <sup>bcdB</sup>	17.17 ± 0.41 <sup>eA</sup>
هوا-۱۰ دقیقه (Air-10 min)	1.88 ± 0.03 <sup>bD</sup>	5.34 ± 0.17 <sup>bC</sup>	10.21 ± 0.55 <sup>bcdB</sup>	19.03 ± 0.46 <sup>dA</sup>
هوا-۲۰ دقیقه (Air-20 min)	20.95 ± 0.25 <sup>bD</sup>	30.09 ± 0.55 <sup>bC</sup>	44.97 ± 0.75 <sup>aB</sup>	70.02 ± 1.03 <sup>aA</sup>
آرگون-۱ دقیقه (Argon-1 min)	1.89 ± 0.08 <sup>bD</sup>	4.54 ± 0.33 <sup>bC</sup>	9.43 ± 0.33 <sup>cdB</sup>	17.26 ± 0.57 <sup>eA</sup>
آرگون-۱۰ دقیقه (Argon-10 min)	1.95 ± 0.11 <sup>bD</sup>	4.65 ± 0.27 <sup>bC</sup>	10.44 ± 0.36 <sup>bcB</sup>	29.27 ± 0.57 <sup>bA</sup>
آرگون-۲۰ دقیقه (Argon-20 min)	1.92 ± 0.11 <sup>bD</sup>	4.66 ± 0.31 <sup>bC</sup>	10.78 ± 0.35 <sup>bb</sup>	33.47 ± 0.58 <sup>bA</sup>

اعداد با حرف کوچک مشترک در یک ستون و اعداد با حرف بزرگ مشترک در یک ردیف، تفاوت معنی‌داری در سطح اطمینان ۹۵ درصد ندارند.

Numbers with the same small letters in a column and with the same capital letters in a row are not significantly different ( $p < 0.05$ ).

(*al.*, 2015). نکته جالب توجه، کاهش سینرسیس و به عبارتی افزایش پایداری طی دوره‌ها، برای نمونه تیمار شده با هوا به مدت ۲۰ دقیقه بود که در دوره اول، سینرسیس بیشتری از شاهد داشت، اما در دوره دوم با کاهش در مقدار سینرسیس، با نمونه شاهد برابری می‌کرد. پس از آن با کاهش بیشتر سینرسیس در دوره سوم و چهارم، مقدار آن حتی از نمونه شاهد هم کمتر شد. در بررسی منابع، مورد مشابهی برای نشاسته‌های اصلاح شده دیده نشد. به نظر می‌رسد که در انجماد مجدد، مولکول‌های بسیار کوچک و دپلمریزه شده که سبب تضعیف ساختار شده بودند، طوری در کنار یکدیگر قرار گرفتند که موجب تقویت شبکه و افزایش قدرت نگه‌داری آب شدند. علاوه بر این، ممکن است اتصال مولکول‌های کوچک به یکدیگر سبب کاهش تحرک و حلالیت آن‌ها شده باشد. به این معنی که در دومین مرتبه از ذوب و سانتریفوژ، مقدار کمتری از این مولکول‌ها به همراه آب خارج شده و در نتیجه وزن از دست رفته یا همان سینرسیس کاهش یافته است.

نمونه‌های هوا-۱ دقیقه و هوا-۲۰ دقیقه، تفاوت معنی‌داری با نمونه شاهد نداشتند. افزایش سینرسیس در نمونه هوا-۲۰ دقیقه،

### پایداری در برابر انجماد-ذوب

جدول ۴، مقادیر آب آزاد شده (سینرسیس) را طی ۴ دوره متوالی انجماد-ذوب نشان می‌دهد که مقادیر بیشتر، نشان‌دهنده پایداری کمتر در برابر انجماد-ذوب است. سینرسیس در شرایط انجماد-ذوب، تخمینی از رفتار رتروگراداسیون نشاسته طی شرایط تشدید شده است. مقدار سینرسیس در سیکل اول انجماد-ذوب، ۴۵ درصد بود که عدد نسبتاً بالایی است. این درصد بالا، ممکن است به دلیل آمیلوز زیاد (۲۹ درصد) در نشاسته سورگوم باشد. زیرا آمیلوز احتمالاً عامل اصلی شدت رتروگراداسیون و سینرسیس طی فرایند انجماد-ذوب است (Ehtiati, 2018).

در نمونه شاهد و نمونه‌های تیمار شده با پلاسمای هوا به مدت ۱ و ۱۰ دقیقه، بیشترین میزان خروج آب در دوره‌های اول و دوم بود و پس از آن تغییر معنی‌داری رخ نداد. در نمونه‌های تیمار شده با پلاسمای آرگون، بیشترین میزان خروج آب در دوره‌های اول، دوم و سوم رخ داد. افزایش سینرسیس ناشی از افزایش تعداد دوره‌ها، احتمالاً به دلیل تخریب گرانول، افزایش غلظت موضعی مولکول‌های نشاسته و در نتیجه افزایش رتروگراداسیون بوده است (Vernon-Carter *et*

شاهد بود. احتمالاً به دلیل اتصال عرضی و درشت شدن مولکول‌ها، تمایل آن‌ها به پیوستن به یکدیگر طی فاز ذوب بیشتر شده و در نتیجه سینرسیس بیشتری رخ داد. ژائو و همکاران (Zhao *et al.*, 2015) و هزاریکا و سیت (Hazarika and Sit, 2016)، افزایش سینرسیس را در نشاسته‌های دارای اتصال عرضی گزارش کردند. نمونه تیمار شده با آرگون به مدت ۱۰ دقیقه نیز پایداری کمتری نسبت به نمونه شاهد داشت (به جز دوره اول). با افزایش زمان تیمار به ۲۰ دقیقه، پایداری نشاسته در دوره‌های ۲، ۳ و ۴ انجماد-ذوب با نمونه شاهد برابری می‌کرد و نسبت به نمونه‌های آرگون-۱ دقیقه و آرگون-۱۰ دقیقه بیشتر بود. همانطور که در آزمون‌های قبلی مطرح شد احتمالاً با افزایش زمان به ۲۰ دقیقه، بر مقدار واکنش‌های اکسیداسیون و دپلمیریزاسیون افزوده شد و به همین دلیل، پایداری در برابر انجماد-ذوب در نمونه آرگون-۲۰ دقیقه در مقایسه با سایر نمونه‌های تیمار شده با آرگون افزایش یافت (به استثنای دوره اول).

احتمالاً به دلیل دپلمیریزاسیون شدید و قوام پایین این نمونه و تشکیل یک سیستم ژلی ضعیف بعد از فریز شدن است که موجب کاهش قدرت نگه‌داری آب در آن‌ها می‌گردد (Matsuguma *et al.*, 2009; Pal *et al.*, 2016). بنابراین، کاهش پایداری این نمونه در برابر انجماد-ذوب (در دوره اول) را نمی‌توان دلیلی بر افزایش رتروگراداسیون دانست. چراکه درجات مناسبی از اکسیداسیون و دپلمیریزاسیون، سبب تجزیه آمیلوز و الحاق گروه‌های آلدوست کربوکسیل می‌شود که کاهش رتروگراداسیون و افزایش پایداری در برابر انجماد-ذوب را به دنبال دارد (Liu *et al.*, 2014). کاهش سینرسیس در نشاسته سورگوم استیل‌شده و نشاسته ذرت اکسید شده به ترتیب توسط سینگ و همکاران (Singh *et al.*, 2012) و لیو و همکاران (Liu *et al.*, 2014) گزارش شده است. در میان نمونه‌های تیمار شده با پلاسمای آرگون، پایداری در برابر انجماد-ذوب برای نمونه تیمار شده به مدت یک دقیقه، کمتر از نمونه

جدول ۴- تأثیر پلاسمای هوا و آرگون بر پایداری نشاسته سورگوم به دوره‌های متوالی انجماد-ذوب

Table 4- Effect of air and argon plasma on the freeze-thaw stability of sorghum starch

نمونه (Sample)	پایداری در برابر انجماد-ذوب (% سینرسیس)			
	Freeze-thaw stability (%)			
	cycle1	cycle2	cycle3	cycle4
شاهد (Control)	45.04 ± 1.57 <sup>cB</sup>	56.57 ± 2.65 <sup>bA</sup>	57.83 ± 1.70 <sup>bA</sup>	56.85 ± 1.09 <sup>cA</sup>
هوا-۱ دقیقه (Air-1 min)	42.12 ± 1.90 <sup>cB</sup>	55.07 ± 1.78 <sup>bA</sup>	56.04 ± 1.40 <sup>bA</sup>	56.66 ± 1.63 <sup>cA</sup>
هوا-۱۰ دقیقه (Air-10 min)	44.71 ± 2.11 <sup>cB</sup>	56.75 ± 1.86 <sup>bA</sup>	55.70 ± 1.12 <sup>bA</sup>	55.73 ± 1.87 <sup>cA</sup>
هوا-۲۰ دقیقه (Air-20 min)	62.94 ± 2.27 <sup>aA</sup>	54.18 ± 1.73 <sup>bB</sup>	48.38 ± 1.83 <sup>cC</sup>	49.06 ± 0.97 <sup>dC</sup>
آرگون-۱ دقیقه (Argon-1 min)	54.72 ± 1.06 <sup>bC</sup>	62.82 ± 1.04 <sup>aB</sup>	69.09 ± 1.01 <sup>aA</sup>	70.21 ± 0.90 <sup>bA</sup>
آرگون-۱۰ دقیقه (Argon-10 min)	46.26 ± 1.16 <sup>cC</sup>	57.91 ± 1.04 <sup>abB</sup>	73.25 ± 1.16 <sup>aA</sup>	74.34 ± 1.25 <sup>aA</sup>
آرگون-۲۰ دقیقه (Argon-20 min)	53.37 ± 1.42 <sup>bC</sup>	54.72 ± 1.79 <sup>bBC</sup>	59.55 ± 1.40 <sup>bA</sup>	58.30 ± 1.19 <sup>cAB</sup>

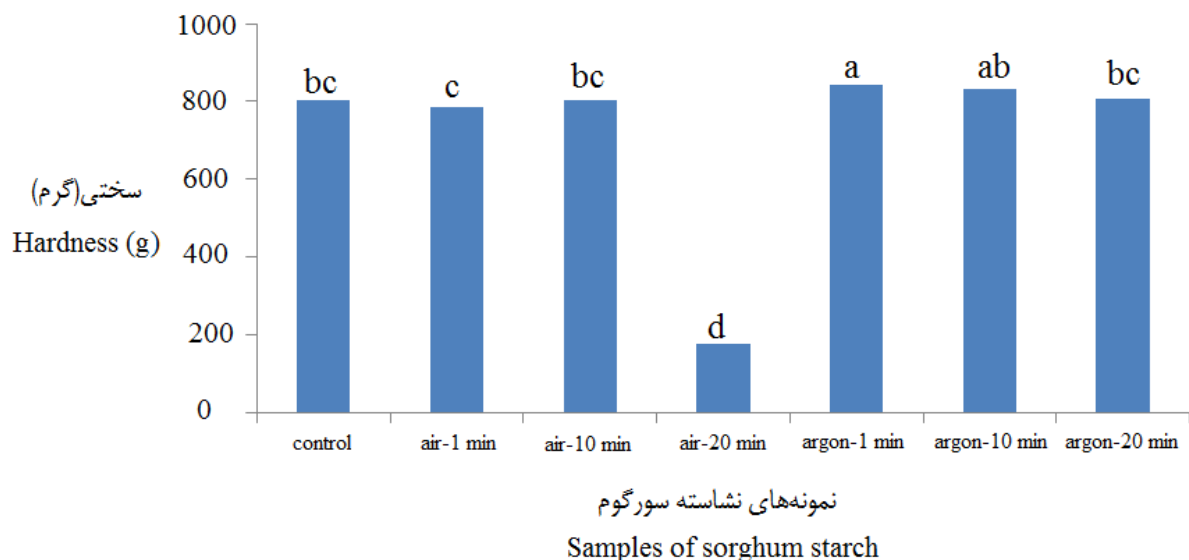
اعداد با حرف کوچک مشترک در یک ستون و اعداد با حرف بزرگ مشترک در یک ردیف، تفاوت معنی‌داری در سطح اطمینان ۹۵ درصد ندارند.

Numbers with the same small letters in a column and with the same capital letters in a row are not significantly different ( $p < 0.05$ ).

هوا-۲۰ دقیقه (در دوره اول انجماد-ذوب) به دلیل رتروگراداسیون نبوده بلکه مرتبط با تخریب ساختار گرانول بوده است. بیشترین مقدار سختی مربوط به نمونه آرگون-۱ دقیقه بود. احتمالاً اتصالات عرضی سبب تقویت ساختار گرانول‌های نشاسته و مانع از شکستن آن‌ها شدند. همچنین ممکن است در اثر تورم بالای این نمونه (جدول ۲)، آمیلوز بیشتری نشت کرده باشد که سبب افزایش رتروگراداسیون و سفتی بافت می‌شود (Hazarika and Sit, 2016). با افزایش زمان تیمار پلاسمای آرگون، به تدریج از مقدار سختی ژل کاسته شد. همانطور که در آزمون‌های قبل نیز بیان شد، با افزایش زمان، احتمالاً واکنش‌های دپلمیریزاسیون و اکسیداسیون شدت گرفته که موجب کاهش رتروگراداسیون و سختی بافت در مقایسه با نمونه آرگون-۱ دقیقه شده است.

## سختی ژل

تشکیل ژل نشاسته پس از سرد شدن خمیر داغ، در اثر کریستالیزاسیون مجدد آمیلوز و تشکیل شبکه رخ می‌دهد. سختی ژل، حداکثر نیروی لازم جهت فشردن ژل تا ارتفاع مورد نظر است (Ehtiati, 2018). بر اساس شکل ۲، سختی ژل نمونه هوا-۲۰ دقیقه، کمتر از سایر نمونه‌ها بود که احتمالاً به دلیل دپلمیریزاسیون شدید و کاهش وزن مولکول‌های نشاسته و در نتیجه تضعیف ساختار درونی گرانول‌هاست (Biduski *et al.*, 2017). نتایج مشابهی مبنی بر کاهش سختی ژل نشاسته سورگوم به دلیل تضعیف ساختار گرانول‌ها به دنبال تیمارهای اکسیداسیون و هیدرولیز اسیدی گزارش شده است (Biduski *et al.*, 2017; Ali and Hasnain, 2014). نتایج سختی بافت تاییدی است بر این احتمال که افزایش سینرسیس در نمونه



شکل ۲- تأثیر پلاسمای هوا و آرگون بر سختی ژل نشاسته سورگوم  
 Fig. 2- Effect of air and argon plasma on hardness of sorghum starch gel

### نتیجه گیری

فیزیکی، نشاسته سورگوم مشابه نشاسته اکسید شده تولید کرد. همچنین به نظر می‌رسد که واکنش‌های رخ داده در این دو پلاسما با یکدیگر متفاوت بوده‌اند. احتمالاً واکنش اصلی در پلاسمای هوا، اکسیداسیون و دپلمریزاسیون است که با افزایش زمان تیمار، این واکنش‌ها نیز شدت یافتند. اما در تیمار با پلاسمای آرگون، احتمالاً در زمان کم (۱ دقیقه) اتصال عرضی مولکول‌های نشاسته رخ داده که موجب کاهش شفافیت شد و سپس با افزایش زمان، اثر واکنش‌های اکسیداسیون و دپلمریزاسیون غالب گردید.

بر اساس پژوهش انجام گرفته، پلاسمای غیر حرارتی روش موفقی برای بهبود ویژگی‌های عملکردی نشاسته سورگوم بود که در این زمینه توانایی پلاسمای هوا بیشتر از پلاسمای آرگون بود. بیشترین مقادیر شفافیت، حلالیت و پایداری در برابر انجماد-ذوب در نمونه تیمار شده با هوا به مدت ۲۰ دقیقه ثبت گردید که طبق بررسی منابع، قابل رقابت با نشاسته‌های اکسید شده به روش شیمیایی بود. بنابراین شاید بتوان با استفاده از پلاسمای غیر حرارتی به عنوان یک روش

### منابع

1. AACC International. (2000). *Approved Methods of Analysis*, 10 Ed. Methods 44-15a, 46-13, 30-25.01 and 08-01. Paul, MN.
2. Adkins, G.K., & Greenwo, C.T. (1996). The Isolation of Cereal Starches in the Laboratory. *Starch/Staerke*, 18, 213-218. <https://doi.org/10.1002/star.19660180703>
3. Ali, T.M., & Hasnain, A. (2014). Morphological, Physicochemical, and Pasting Properties of Modified White Sorghum (*Sorghum bicolor*) Starch. *International Journal of Food Properties*, 17, 523-535. <https://doi.org/10.1080/10942912.2012.654558>
4. Biduski, B., Silva, F.T.D., Silva, W.M.D., Halal, S.L.M.E., Pinto, V.Z., Dias, A.R.G., & Zavareze, E.D.R. (2017). Impact of acid and oxidative modifications, single or dual, of sorghum starch on biodegradable films. *Food Chemistry*, 214, 53-60. <https://doi.org/https://doi.org/10.1016/j.foodchem.2016.07.039>
5. Chaiwat, W., Wongsagonsup, R., Tangpanichyanon, N., Jariyaporn, T., Deeyai, P., Suphantharika, M., Fuongfuchat, A., Nisoa, M., & Dangtip, S. (2016). Argon plasma treatment of tapioca starch using a semi-continuous downer reactor. *Food and Bioprocess Technology*, 9, 1125-1134. <https://doi.org/10.1007/s11947-016-1701-6>
6. Charoenrein, S., Tatirat, O., & Muadklay, J. (2008). Use of centrifugation-filtration for determination of syneresis in freeze-thaw starch gels. *Carbohydrate Polymers*, 73(1), 143-147. <https://doi.org/10.1016/j.carbpol.2007.11.012>
7. Chong, W.T., Uthumporn, U., Karim, A.A., & Cheng, L.H. (2013). The influence of ultrasound on the degree of oxidation of hypochlorite-oxidized corn starch. *LWT- Food Science and Technology*, 50(2), 439-443. <https://doi.org/https://doi.org/10.1016/j.lwt.2012.08.024>

8. Ehtiati, A. (2018). *Effect of hydrocolloids and salt on Pasting and rheological properties of sorghum starch*. Faculty of Agriculture, Ferdowsi university of Mashhad, Mashhad.
9. Hazarika, B.J., & Sit, N. (2016). Effect of dual modification with hydroxypropylation and cross-linking on physicochemical properties of taro starch. *Carbohydrate Polymers*, 140, 269–278. <https://doi.org/10.1016/j.carbpol.2015.12.055>
10. Kaur, L., Singh, J., & Singh, N. (2006). Effect of cross-linking on some properties of potato starches. *Journal of the Science of Food and Agriculture*, 86, 1945–1954. <https://doi.org/10.1002/jsfa.2568>
11. Khorram, S., Zakerhamidi, M.S., & Karimzadeh, Z. (2015). Polarity functions' characterization and the mechanism of starch modification by DC glow discharge plasma. *Carbohydrate Polymers*, 127, 72–78. <https://doi.org/10.1016/j.carbpol.2015.03.056>
12. Koo, S.H., Lee, K.Y., & Lee, H.G. (2010). Effect of cross-linking on the physicochemical and physiological properties of corn starch. *Food Hydrocolloids*, 24, 619–625. <https://doi.org/10.1016/j.foodhyd.2010.02.009>
13. Liu, J., Wang, B., Lin, L., Zhang, J., Liu, W., Xie, J., & Ding, Y. (2014). Functional, physicochemical properties and structure of cross-linked oxidized maize starch. *Food Hydrocolloids*, 36, 45–52. <https://doi.org/https://doi.org/10.1016/j.foodhyd.2013.08.013>
14. Matsuguma, L.S., Lacerda, L.G., Schnitzler, E., Filho, M.A.D.S.C., Franco, C.M.L., & Demiate, I.M. (2009). characterization of native and oxidized starches of two varieties of Peruvian carrot (*Arracacia xanthorrhiza*, B.) from two production areas of Paraná state, Brazil. *Brazilian Archives of Biology and Technology*, 52(3), 701–713. <https://doi.org/10.1590/S1516-89132009000300022>
15. McGrance, S.J., Cornell, H.J., & Rix, C.J. (1998). A simple and rapid colorimetric method for the determination of amylose in starch products. *Starch/Stärke*, 50(4), 158–163. [https://doi.org/https://doi.org/10.1002/\(SICI\)1521-379X\(199804\)50:4<158::AID-STAR158>3.0.CO;2-7](https://doi.org/https://doi.org/10.1002/(SICI)1521-379X(199804)50:4<158::AID-STAR158>3.0.CO;2-7)
16. Mohammadamini, A. (2015). *Morphological, physico-chemical, and functional properties of starch nanocrystals*. Faculty of Agriculture, Ferdowsi university of Mashhad, Mashhad.
17. Olayinka, O.O., Adebowale, K.O., & Olu-Owolabi, I.B. (2013). Physicochemical properties, morphological and X-ray pattern of chemically modified white sorghum starch. (Bicolor Moench). *Journal of Food Science and Technology*, 50(1), 70–77. <https://doi.org/10.1007/s13197-011-0233-3>
18. Pal, P., Kaur, P., Singh, N., Kaur, A., Misra, N.N., Tiwari, B.K., Cullen, P.J., & Viridi, A.S. (2016). Effect of nonthermal plasma on physico-chemical, amino acid composition, pasting and protein characteristics of short and long grain rice flour. *Food Research International*, 81, 50–57. <https://doi.org/https://doi.org/10.1016/j.foodres.2015.12.019>
19. Sarangapani, C.R., Rohit, T., Devi, Y., Trimukhe, A., Deshmukh, R.R., & Annapure, U.S. (2016). Effect of low pressure plasma on physicochemical properties of parboiled rice. *LWT- Food Science and Technology*, 69, 482–489. <https://doi.org/https://doi.org/10.1016/j.lwt.2016.02.003>
20. Singh, H., Sodhi, N.S., & Singh, N. (2009). Structural and functional properties of acid thinned sorghum starches. *International Journal of Food Properties*, 12, 713–725. <https://doi.org/10.1080/10942910801995614>
21. Singh, H., Sodhi, N. S., & Singh, N. (2012). Structure and functional properties of acetylated sorghum starch. *International Journal of Food Properties*, 15, 312–325. <https://doi.org/10.1080/10942912.2010.483633>
22. Subramanian, V., Hosney, R.C., & Bramel-Cox, P. (1994). Shear thinning properties of sorghum and corn starches. *Cereal Chemistry*, 71(3), 272–275.
23. Sukhija, S., Singh, S., & Riar, C.S. (2017). Molecular characteristics of oxidized and crosslinked lotus (*Nelumbo nucifera*) rhizome starch. *International Journal of Food Properties*, 1065–1081. <https://doi.org/10.1080/10942912.2017.1328437>
24. Thirumdas, R., Kadam, D., & Annapure, U.S. (2017a). Cold plasma: an Alternative Technology for the Starch Modification. *Food Biophysics*, 12, 129–139. [10.1007/s11483-017-9468-5](https://doi.org/10.1007/s11483-017-9468-5)
25. Thirumdas, R., Trimukhe, A., Deshmukh, R.R., & Annapure, U.S. (2017b). Functional and rheological properties of cold plasma treated rice starch. *Carbohydrate Polymers*, 157, 1723–1731. <https://doi.org/https://doi.org/10.1016/j.carbpol.2016.11.050>
26. Vernon-Carter, E.J., Bello-Pérez, L.A., Lobato-Calleros, C., Hernández-Jaimes, C., Meraz, M., & Alvarez-Ramirez, J. (2015). Morphological, rheological and in vitro digestibility characteristics of gelatinized starch dispersion under repeated freeze-thaw cycles. *Starch/Stärke*, 68, 84–91. <https://doi.org/10.1002/star.201500178>
27. Wang, Y.J., & Wang, L. (2003). Physicochemical properties of common and waxy corn starches oxidized by different levels of sodium hypochlorite. *Carbohydrate Polymers*, 52, 207–217. [https://doi.org/https://doi.org/10.1016/S0144-8617\(02\)003041](https://doi.org/https://doi.org/10.1016/S0144-8617(02)003041)
28. Waterschoot, J., Gomand, S.V., Fierens, E., & Delcour, J.A. (2015). Production, structure, physicochemical and functional properties of maize, cassava, wheat, potato and rice starches. *Starch/Stärke*, 67, 14–29. <https://doi.org/10.1002/star.201300238>

29. Wongsagonsup, R., Deeyai, P., Chaiwat, W., Horrungsawat, S., Leejariensuk, K., Suphantharika, M., & Dangtip, S. (2014 a). Modification of tapioca starch by nonchemical route using jet atmospheric argon plasma. *Carbohydrate Polymers*, 102, 790–798. <https://doi.org/10.1016/j.carbpol.2013.10.089>
30. Wongsagonsup, R., Pujchakarn, N., Jitrakbumrung, S., Chaiwat, W., Fuongfuchat, A., Varavinit, S., Dangtip, S., & Suphantharika, M. (2014 b). Effect of cross-linking on physicochemical properties of tapioca starch and its application in soup product. *Carbohydrate Polymers*, 101, 656-665. <https://doi.org/10.1016/j.carbpol.2013.09.100>
31. Wu, T.Y., Chang, C.R., Chang, T.J., Chang, Y.J., Liew, Y., & Chau, C.F. (2019). Changes in physicochemical properties of corn starch upon modifications by atmospheric pressure plasma jet. *Food Chemistry*, 283, 46-51. <https://doi.org/https://doi.org/10.1016/j.foodchem.2019.01.043>.
32. Zou, J.J., Liu, C.J., & Eliasson, B. (2004). Modification of starch by glow discharge plasma. *Carbohydrate Polymers*, 55(1), 23–26. <https://doi.org/10.1016/j.carbpol.2003.06.001>
33. Zhao, J., Chen, Z., Jin, Z., Buwalda, P., Gruppen, H., & Schols, H.A. (2015). Effects of granule size of cross-linked and hydroxypropylated sweet potato starches on their physicochemical properties. *Journal of Agricultural and Food Chemistry*, 63, 4646-4654. <https://doi.org/10.1021/jf506349w>